

附赠光盘

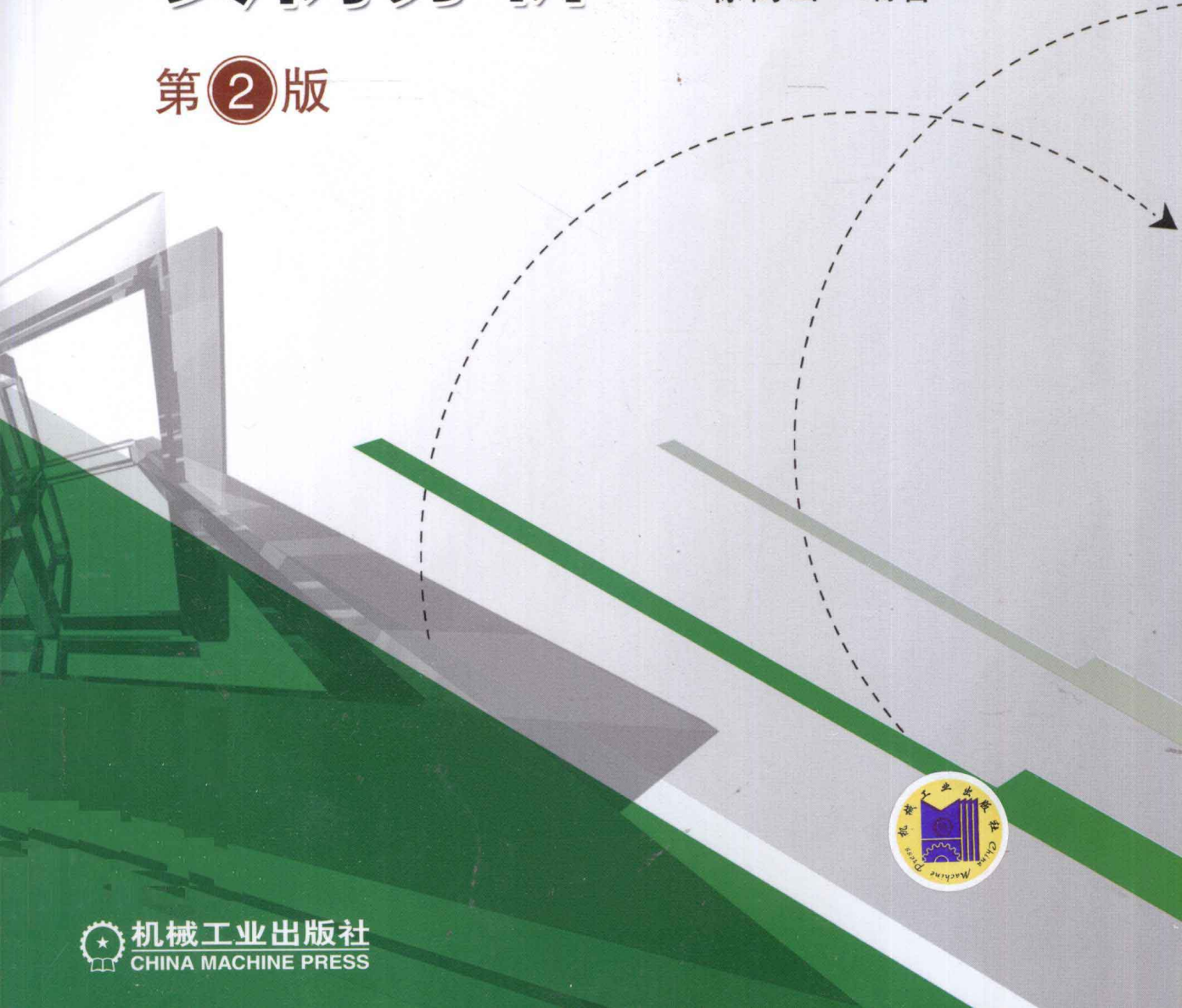


ANSYS 建筑钢结构工程

实例分析

◎ 徐鹤山 编著

第②版



机械工业出版社
CHINA MACHINE PRESS

ANSYS

建筑钢结构工程实例分析

第 2 版

徐鹤山 编著



机械工业出版社

第 2 版 前言

有限元是随着电子计算机的发展而发展起来的新的结构分析技术。当前的有限元技术发展已经相当成熟，人们已经把这种技术编制成了大量非常优秀的计算机软件（ANSYS、NASTRAN、MARC 以及 ABAQUS 等）。这些软件不仅在航空、航天、造船等高科学技术领域得到了广泛应用，而且它们在建筑工程领域也得到了广泛应用。20 世纪，工程技术人员最初只使用传统的设计软件进行设计，而现在，随着设计人员的年轻化、高学历化，越来越多的设计人员开始使用功能更加强大的有限元分析软件，进行模拟分析、设计校核。ANSYS 是较早进入中国市场的有限元软件，因而其用户数量也较多，在工程领域的应用也较广泛。

《ANSYS 建筑钢结构工程实例分析》第 1 版是使用 ANSYS9.0 编写的，该书于 2007 年 8 月出版。三年来，ANSYS 软件的版本不断升级，目前新推出的最高版本是 ANSYS12.1。考虑到现在使用最多的版本是 ANSYS11.0，因此编者基于 ANSYS11.0 对本书第 1 版进行了全面修订。

《ANSYS 建筑钢结构工程实例分析》第 2 版内容进行了以下修订。

- 1) 全书案例均改为 ANSYS11.0 版的内容，包括所有图形和程序。
- 2) 菜单路径由原来的英文路径表达方式，改为中、英文路径对照方式，以方便不同的读者学习和阅读。
- 3) 压缩了篇幅，删去了第 1 版中的命令流（将命令流内容全部放入光盘中），删去了第 1 版中不常用的工程案例。
- 4) 根据教学培训实践要求，将部分工程案例更换为更典型、更常见的工程案例。如增加了平行拉索结构分析、自平衡索结构分析和典型雨篷结构分析等，并将齿轮连接结构点-面接触分析改为面-面接触分析；删除了不常遇到的地铁门结构分析、巨型钢框架结构分析和玻璃肋驳接结构分析等。

本书修订后的内容：

第一部分介绍有限元技术的应用知识，包括有限元的一般概念、有限元平衡方程的建立方法、有限元平衡方程常用的求解方法和如何对有限元计算结果进行评定等。修订后对这些内容进行了补充和修改，使内容更加丰富和准确。

第二部分介绍 ANSYS11.0 结构分析软件的使用，包括 ANSYS11.0 软件用户界面和主要菜单路径、ANSYS11.0 软件前处理、加载求解和后处理等内容。主要菜单路径使用中、英文对照的方式进行介绍，能使读者尽快掌握 ANSYS 软件的实际应用。介绍 ANSYS11.0

软件时从“菜单路径”入手，这是掌握大型结构分析软件的捷径，也是本书特点之一。

ANSYS11.0版软件中包含ANSYS Workbench11.0软件，本书第2版中增加了对这个工作平台的使用介绍。ANSYS Workbench11.0软件是集产品设计、仿真和优化功能于一身的先进软件，可以帮助技术人员在同一软件环境下，完成产品研发过程中的所有工作，可大大简化产品开发流程，缩短产品研发周期。

工程实例是力学分析的载体，第三部分是工程结构实例分析，本书选择了多种不同类型的典型工程项目，共包括五章内容。其中第3章介绍门窗结构计算分析，包括活动窗（门）、固定窗，活动窗和门在边界条件和受力状态是属于同一个类型的。这一部分属于门窗设计常设分析项目。第4章介绍幕墙结构的计算分析。当前幕墙结构形式繁多，编者选择了平行拉索、自平衡索、复合拉索、典型雨篷和圆形采光顶等典型结构进行了分析。幕墙结构近些年来发展迅速，因其结构独特、造型各异，必须采用有限元分析技术。第5章介绍钢框架结构分析，选择了钢结构楼梯、房屋钢框架结构和预热器塔架结构等。预热器塔架结构着重分析钢结构的地震作用。第6章介绍连接结构计算分析，选择了销钉、耳环连接结构分析和齿轮连接结构分析。连接结构的接触分析属于高度几何非线性问题，必须采用有限元分析方法。第7章介绍玻璃窗传热分析，包括中空玻璃的传热计算和三空腔室铝型材窗框传热计算。这一部分虽不属于建筑钢结构范畴，但为了适应当前提倡的门窗结构节能减排要求，特增加了这个章节。

第三部分基本上是按照工程类型进行介绍的，同时根据不同的工程类型还穿插介绍了线弹性、材料非线性、几何非线性、模态分析、屈曲分析、接触分析以及地震作用响应分析等相关力学知识和求解方法。这些分析方法除建筑工程以外，也可供其他行业中的相关工程技术人员学习和参考。

为方便读者学习，本书所有工程例题分析的后备文件和命令流，均保存在配套光盘中，其使用方法详见附录C的说明。由于编者的水平和精力所限，书中难免有疏漏之处，欢迎读者批评指正。编者的电子邮箱为：XHS606@163.com。

编 者

目 录

第2版前言

第1章 有限元应用知识介绍	1
1.1 有限元平衡方程、求解知识概述	1
1.2 有限元理论的应用基础	2
1.2.1 有限元平衡方程的建立	2
1.2.2 有限元计算常用的求解方法	9
1.2.3 有限元计算模型的形成	17
1.2.4 有限元计算结果的评定	20
第2章 ANSYS11.0 和 ANSYS Workbench11.0 的使用介绍	22
2.1 ANSYS11.0 程序的使用介绍	22
2.1.1 ANSYS11.0 程序的启动和退出	22
2.1.2 ANSYS11.0 程序菜单路径命令中的符号说明	22
2.1.3 ANSYS11.0 程序图形用户界面	22
2.1.4 ANSYS11.0 程序的下拉菜单和主要菜单路径	23
2.1.5 坐标系和工作平面	44
2.1.6 建立几何模型和划分网格练习	45
2.1.7 施加荷载及求解练习	58
2.1.8 通用后处理练习	60
2.2 ANSYS Workbench 程序使用介绍	63
2.2.1 ANSYS Workbench 的分析模块	63
2.2.2 Design Modeler (DM) 建模过程	64
2.2.3 Design Simulation (DS) 分析过程	74
第3章 门窗结构分析	83
3.1 相关知识介绍	83
3.1.1 工程单位制说明和约定	83
3.1.2 梁单元 BEAM3、BEAM4、BEAM188 和管单元 PIPE16 的使用介绍	84
3.1.3 门窗结构计算模型简化和边界条件的选取	86
3.1.4 建筑外窗（外门）风荷载的计算与施加	86
3.2 活动外窗（外门）计算	86
3.2.1 活动外窗边框按简支梁计算	87
3.2.2 活动外窗框整体结构计算	93
3.3 固定外窗计算	98
3.3.1 固定外窗中竖框按两端固定梁计算	98

3.3.2 固定外窗框整体计算	104
3.4 窗玻璃的强度和模态计算	111
3.4.1 窗玻璃的应力和变形计算	111
3.4.2 窗玻璃的模态计算	115
3.5 铝窗框三维应力和变形计算	117
第4章 幕墙、雨篷、采光顶结构分析	125
4.1 幕墙结构计算	125
4.1.1 相关知识介绍	125
4.1.2 平行拉索结构计算	125
4.1.3 自平衡索结构计算	131
4.1.4 复合拉索结构计算	136
4.1.5 四孔玻璃强度计算	143
4.2 雨篷结构计算	148
4.2.1 相关知识介绍	148
4.2.2 典型雨篷结构计算	149
4.3 采光顶结构计算	157
4.3.1 相关知识介绍	157
4.3.2 采光顶结构的屈曲计算	159
4.4 伞形壳结构的屈曲计算	171
4.4.1 伞形壳结构的特征值屈曲计算	171
4.4.2 伞形壳结构的非线性屈曲计算	175
第5章 钢框架结构分析	180
5.1 相关知识介绍	180
5.1.1 金属材料的拉伸应力-应变曲线及其应用	180
5.1.2 线弹性计算方法和材料非线性计算方法	181
5.1.3 结构的模态分析	182
5.1.4 结构的地震响应分析	183
5.2 钢结构楼梯计算	188
5.2.1 钢结构楼梯主结构计算	188
5.2.2 钢结构楼梯段与转接平台计算	202
5.3 房屋钢框架结构计算	209
5.4 预热器塔架计算	217
5.4.1 预热器塔架的模态计算	217
5.4.2 预热器塔架的地震作用计算	221
第6章 连接件结构分析	235
6.1 相关知识介绍	235
6.1.1 接触问题计算方法	235
6.1.2 接触节点对位移协调计算方法	239

6.1.3 接触面法向均布荷载计算方法	239
6.2 耳环销子连接结构计算分析	240
6.2.1 按面一面接触问题计算	240
6.2.2 按节点对法向位移协调计算	249
6.2.3 按接触面法向均布荷载计算	254
6.3 齿轮连接结构计算	258
第7章 玻璃窗传热分析	268
7.1 相关知识介绍	268
7.1.1 建筑节能设计标准及三种传热方式	268
7.1.2 ANSYS程序传热计算分析功能及常用单元	269
7.1.3 传热分析的理论基础及有关单位	270
7.1.4 传热分析的有限元平衡方程	270
7.1.5 传热分析中的边界条件	271
7.1.6 ANSYS程序的传热分析步骤及所用菜单路径	271
7.2 中空玻璃的传热计算	273
7.3 三空腔室铝型材窗框的传热计算	277
7.4 玻璃窗的传热系数计算	281
附录	282
附录A 建筑外窗抗风强度计算方法(GB 7106—2002)	282
附录B 变分法有关知识介绍	287
附录C 有限元分析后备文件和命令流的使用说明	292
参考文献	305

第1章 有限元应用知识介绍

本章内容包括有限元知识概述、有限元平衡方程的建立、有限元计算常用的求解方法、有限元计算模型的形成和有限元计算结果的评定。

有限元平衡方程的建立介绍了用虚功原理和最小位能原理两种方法建立有限元平衡方程。用最小位能原理建立有限元平衡方程介绍了变分法，这一部分是供具有高等数学基础的读者参考的。

有限元计算常用的求解方法介绍了线弹性问题最基本也是最常用的两种求解方法：高斯消去法和三角分解法。非线性求解方法中，在笔者编著的《ANSYS在建筑工程中的应用》一书中，介绍了材料非线性问题的求解方法：牛顿-拉普森法（Newton-Raphson）、修正牛顿-拉普森法（Modified Newton-Raphson）和准牛顿-拉普森法（Quasi-Newton-Raphson）。在本书中将着重介绍几何非线性求解方法，特别是非稳定结构的几何非线性问题所采用的求解方法：与修正牛顿-拉普森法相结合的弧长法。所谓弧长法实际上是一种控制增量载荷的约束条件。这个约束条件对于处理非稳定结构的几何非线性问题中的“疾速通过现象”是非常必要的。它使得求解过程能真实地追踪结构的载荷-位移历史过程。

有限元计算模型的形成主要介绍模型的简化。由真实结构到计算模型是每个从事计算分析的技术人员所面临的问题。这个问题看似简单，实际上没有有限元技术知识和工程概念是难于处理的实际工程问题。

最后介绍有限元计算结果的评定，它包括有限元计算结果正确性的评定和对有限元计算结果工程可用性评估。这对缺乏结构分析经验的工程师是非常有用的。

1.1 有限元平衡方程、求解知识概述

设有一个连续弹性体在外力作用下处于平衡状态。现在将这个连续弹性体分割成有限个单元体，而且每个单元体的性质（几何性质和物理性质）用节点表达。例如：一个方板分割成81个单元，100个节点，每个节点具有三个自由度（X、Y和Z向），共有300个自由度。利用几何关系（位移和应变）、物理关系（应力和应变），而且将外力按照一定的原则（静力等效原则）分配到每个节点的自由度上。由于连续弹性体处于平衡状态，因此就可利用虚功原理或位能原理建立一个用节点自由度表达的连续体在外力作用下的平衡方程组（1-1）。

$$\begin{aligned} a_{11}x_1 + a_{12}x_2 + a_{13}x_3 + \dots + a_{1m}x_m &= f_1 \\ a_{21}x_1 + a_{22}x_2 + a_{23}x_3 + \dots + a_{2m}x_m &= f_2 \\ a_{31}x_1 + a_{32}x_2 + a_{33}x_3 + \dots + a_{3m}x_m &= f_3 \\ &\dots \\ a_{n1}x_1 + a_{n2}x_2 + a_{n3}x_3 + \dots + a_{nm}x_m &= f_n \end{aligned} \quad (1-1)$$

$$\begin{aligned}
 N_4 &= \frac{1}{8}(1-\xi)(1-\eta)(1-\zeta)(-\xi-\eta-\zeta-2) \\
 N_5 &= \frac{1}{8}(1+\xi)(1-\eta)(1+\zeta)(\xi-\eta+\zeta-2) \\
 N_6 &= \frac{1}{8}(1+\xi)(1+\eta)(1+\zeta)(\xi+\eta+\zeta-2) \\
 N_7 &= \frac{1}{8}(1-\xi)(1+\eta)(1+\zeta)(-\xi+\eta+\zeta-2) \\
 N_8 &= \frac{1}{8}(1-\xi)(1-\eta)(1+\zeta)(-\xi-\eta+\zeta-2) \\
 N_9 &= \frac{1}{4}(1-\eta^2)(1+\xi)(1-\zeta) \\
 N_{10} &= \frac{1}{4}(1-\xi^2)(1+\eta)(1-\zeta) \\
 N_{11} &= \frac{1}{4}(1-\eta^2)(1-\xi)(1-\zeta) \\
 N_{12} &= \frac{1}{4}(1-\xi^2)(1-\eta)(1-\zeta) \\
 N_{13} &= \frac{1}{4}(1-\eta^2)(1+\xi)(1+\zeta) \\
 N_{14} &= \frac{1}{4}(1-\xi^2)(1+\eta)(1+\zeta) \\
 N_{15} &= \frac{1}{4}(1-\eta^2)(1-\xi)(1+\zeta) \\
 N_{16} &= \frac{1}{4}(1-\xi^2)(1-\eta)(1+\zeta) \\
 N_{17} &= \frac{1}{4}(1-\zeta^2)(1+\xi)(1-\eta) \\
 N_{18} &= \frac{1}{4}(1-\zeta^2)(1+\xi)(1+\eta) \\
 N_{19} &= \frac{1}{4}(1-\zeta^2)(1-\xi)(1+\eta) \\
 N_{20} &= \frac{1}{4}(1-\zeta^2)(1-\xi)(1-\eta)
 \end{aligned} \tag{1-9}$$

式中，形状函数 $N_i(\xi, \eta, \zeta)$ 是局部坐标 ξ, η, ζ 的函数， i 是单元节点号。有关形状函数的概念，详见参考文献。

2. 应变分量的形成

应变最简单的形式是弹性体单向受力时的相对伸长量，即 $\epsilon = (L - L_0)/L_0$ 。上述单元的应变都可以用微分式表达成各种分量。例如：杆单元的应变分量为 $\epsilon = \frac{\partial U_s}{\partial S}$ 。其余单元的应变分量在以下各节分别介绍。

3. 单元应力和应变关系的建立

一般来讲，任何弹性体都具有一定的物理关系，其中最简单的形式就是胡克定律。材料力学中给出了弹性体单向受力时的胡克定律： $\sigma = E\epsilon$ 。这个关系式表达了弹性体的应力和应变关系，可以用于建立单元的应力和应变关系。各种单元的应力和应变关系式的建立，在以

